

МОРФОЛОГИЯ И ПАТОЛОГИЯ

УДК 611.818.616.831.8 – 091

СОВРЕМЕННЫЕ ПОДХОДЫ К ОЦЕНКЕ КОНСТИТУЦИОНАЛЬНОЙ МОРФОЛОГИИ ПРОДОЛГОВАТОГО МОЗГА В НОРМЕ И ПРИ ХРОНИЧЕСКОЙ ПАТОЛОГИИ

В.Б. Писарев, В.И. Фролов, В.В. Новочадов

Кафедра патологической анатомии ВолГМУ

Отдел общей и экспериментальной патологии ВНЦ РАМН и Администрации Волгоградской области

Современная нейроморфология располагает достаточным арсеналом методологических подходов, среди которых наиболее перспективными являются исследования конкретных структур нервной системы на молекулярном уровне (прежде всего методами иммуногистохимии) [3, 4, 9, 11, 12], изучение фенотипической вариабельности генетически детерминированных структур [2, 8, 13, 15], а также все более уточненные количественные морфологические (морфометрические) исследования [1, 6, 7, 10, 14, 16]. На наш взгляд, в последнем случае, помимо широко распространенного и опровергнутого подхода, основанного на определении средних показателей пространственно и функционально близких элементов (например, нейронов конкретного ядра гипоталамуса или слоя определенной зоны коры головного мозга), новые представления о закономерностях строения нервной системы можно получить и при использовании ряда других подходов.

ЦЕЛЬ РАБОТЫ

Установить приемлемость градиентного и полевого подходов в исследовании морфологии центральной нервной системы и обосновать алгоритм оценки конституциональной вариабельности нервных структур на их основе.

МЕТОДИКА ИССЛЕДОВАНИЯ

Материалом для исследования послужили ткани головного мозга крыс, полученные от 8 интактных животных, различающихся по уровню общей неспецифической реактивности (УОНРО). Дифференцировку по уровню провели с использованием порога ионциентивной чувствительности по А.Б. Мулику (2001), выделив из большой группы крыс по 4 животных с крайне высоким и низким УОНРО. Подразделение на типы подтверждало при выведении из эксперимента на основании конституциональных особенностей коэффициентов масс печени, почек и сердца.

Оцифрованные изображения фронтальных срезов на уровне продолговатого мозга, окрашенных

гематоксилином и эозином, по Нисслю и серебрением по Бильшовскому подвергали двум процедурам: классической компьютерной морфометрии с использованием аппаратного комплекса Videotest-Morfo 4.0 и с помощью оригинальных программ, созданных в ВНЦ РАМН и АВО. Для удобства выделения структур производили воссоздание полного среза путем объединения с помощью программы Adobe Photoshop 7.0 (Microsoft, USA) 44-70 полей зрения при обычном микроскопировании (10 x 10). Базисные представления о вариабельности признаков при градиентном исследовании заключались в построении усредненной (за 100 проходов) функции тинкториальных свойств по каждому красителю в трех направлениях: краинокаудальном, дорсовентральном и трансверсальном. Последние градиенты были сгруппированы по 5 сегментам в краинокаудальном направлении (рис. 1). При микрогистионном подходе основу анализа составляло сравнение корреляций между основополагающими морфологическими свойствами данного нейрона и аналогичными свойствами близлежащих. Карттирование этих корреляций легло в основу выделения взаимозависимых групп нейронов – микрогистионов внутри классических ядер продолговатого мозга (рис. 2).

РЕЗУЛЬТАТЫ ИССЛЕДОВАНИЯ И ИХ ОБСУЖДЕНИЕ

Различия в градиентах интенсивности окраски тионином в дорсовентральном направлении показали, что для продолговатого мозга крыс с высоким УОНРО характерны более высокие абсолютные значения интенсивности, но монотонные по профилю сечения. У животных с низким УОНРО средняя интенсивность была значительно ниже, но имелись участки с выраженным колебаниями этого показателя (табл. 1).

При сравнении поперечных профилей интенсивности окраски тионином от центра в центролатеральном направлении были выявлены те же закономерности: более высокая, но монотонно из-

меняющаяся интенсивность у животных с высоким УОНРО, меньшая, но с наличием неоднородности профиля – для животных с низким УОНРО.

Воссоздание краинокаудального градиента проведено путем инвертирования объединенной таб-

лицы Excel «столбцы – строки». Различия между показателями в группах с высоким и низким УОНРО заключались в наличии пиков интенсивности в краинальных и каудальных срезах продолговатого мозга у животных с низким УОНРО (рис. 3).

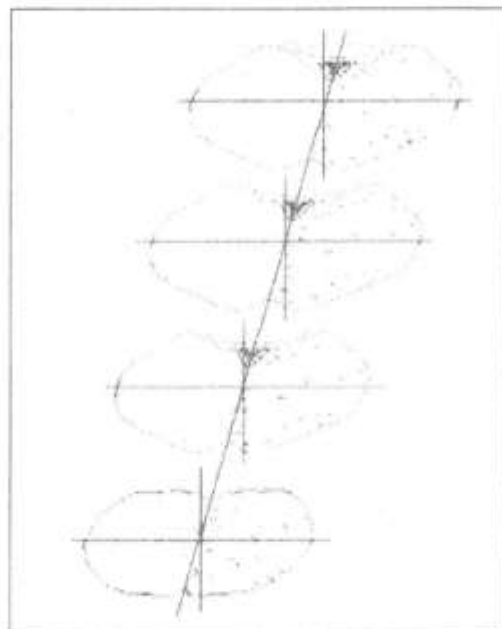


Рис. 1. Направления осей при анализе градиентов тиокориальной плотности в продолговатом мозге крыс.



Рис. 2. Выделение нейронных групп на основании анализа корреляционной зависимости между суммарной интенсивностью аргирофильтной окраски перикартионов соседних нейронов.

Таблица 1

Интенсивность окраски тионином при исследовании срезов продолговатого мозга
в градиентных направлениях

Уровни сканирования (ход 50 мкм)	Высокий УОНРО	Низкий УОНРО
Дорсовентральный градиент		
1-10	22,42±1,22	9,23±0,54*
11-20	23,81±1,28	12,60±0,62*
21-30	27,85±1,43	13,61±0,70*
31-40	26,07±1,29	8,43±0,82*
41-50	23,63±1,37	6,04±0,75*
51-60	20,42±1,80	7,08±0,65*
61-70	24,09±1,93	8,85±0,48*
71-80	26,24±1,45	5,89±0,70*
81-90	25,4±1,22	6,81±0,42*
91-100	26,6±1,22	8,50±0,60*
Центролатеральный градиент		
1-10	27,00±1,45	5,25±0,48*
11-20	29,62±1,80	8,25±0,60*
21-30	25,81±1,44	5,82±0,43*
31-40	30,25±2,32	7,14±0,56*
41-50	27,84±1,54	5,81±0,39*
51-60	28,65±1,32	9,22±0,67*
61-70	28,45±1,40	5,24±0,33*
71-80	28,84±1,32	7,25±0,62*
81-90	28,12±1,38	6,00±0,48*
91-100	26,62±1,20	4,66±0,32*

Примечание: знаком * помечены достоверные различия между группами, жирным шрифтом – достоверные пики интенсивности окраски.

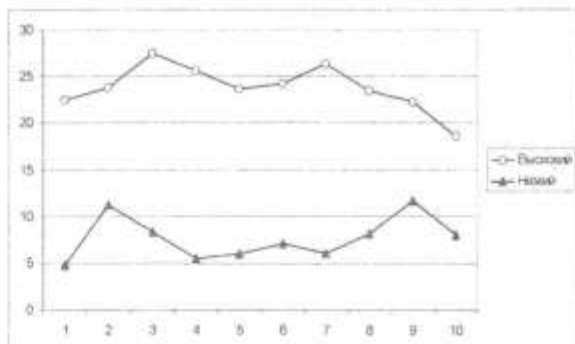


Рис. 3. Краинокаудальный профиль интенсивности окраски тионином в продолговатом мозге крыс с высоким и низким УОНРО.

При серебрении различия в градиентах интенсивности окраски в дорсовентральном и центролатеральном направлениях имели те же закономерности, но были несколько менее выраженными, а при исследовании краинокаудального градиента не выявлялись. Окраска гематоксилином и эозином была признана непригодной для подобного анализа.

При корреляционном анализе, как наиболее понятные для последующего обсуждения, были выбраны зависимости между суммарной аргентофилией перикарионов соседних нейронов (табл. 2).

Таблица 2

Аутокорреляционная зависимость между аргентофилией нейронов в ядрах блуждающего нерва и ретикулярной формации продолговатого мозга крыс с высоким и низким УОНРО

Структуры	Высокий УОНРО		Низкий УОНРО	
	Разброс корреляций	Число групп	Разброс корреляций	Число групп
Дорсальное ядро	-0.54 - -0.32	1	-0.60 - -0.24	1-2
Двойное ядро	0.48 +0.45	1-2	-0.55 - +0.58	3-4
Ядро одиночного пути	-0.62 +0.38	1-2	-0.28 - +0.44	2-3
Гигантоклеточное ядро	-0.11 +0.63	3-4	-0.18 - +0.61	4-6
Лат. ретикулярное ядро	-0.24 - +0.52	3-4	-0.12 - +0.70	4-6

Как видно из представленных данных, на основании подобного подхода можно говорить о более детализированном, фрагментированном строении классических ядер продолговатого мозга у крыс с конституционально низкой реактивностью организма.

ЗАКЛЮЧЕНИЕ

Компьютерная морфометрия, основанная на построении осевых градиентов (трансверсального, дорсовентрального и краинокаудального) тинкториальных свойств нервной ткани по отношению к тионину и солям серебра является эффективным подходом к анализу конституциональных особенностей морфологии продолговатого мозга. С его помощью возможно установление типовых признаков высокой и низкой неспецифической реактивности организма.

Выявление функционально связанных микрогрупп нейронов внутри ядер продолговатого мозга на основе исследования корреляционных зависимостей между свойствами соседних нейронов перспективно в плане изучения конституциональной нейроморфологии, но предъявляет более высокие требования к качеству микропрепараторов и привлечения сложного логического анализа для формирования функционально значимых компонентов внутри классических ядер продолговатого мозга.

ЛИТЕРАТУРА

1. Автандилов Г.Г. Основы количественной патологической анатомии. -М.: Медицина, 2002. - 240с.
2. Анохин И.П., Веретинская А.Г., Васильева Г.Н., Овчинников И.В. // Физиология человека. -2000. - Т.26. - №6. - С. 74-81.
3. Елисеева Е.В., Романова Н.Е., Баранов В.Ф., Мотавкин П.А. // Морфология - 2002. - №4. - С. 32-36.
4. Зиматкин С.М., Кузнецова В.Б., Анишик О.В. Гистаминергическая нейронная система мозга // Морфология - 2003. - № 1. - С. 80-83.
5. Мулик А.Б. Уровень общей неспецифической реактивности организма. - Волгоград: Изд-во ВолГУ, 2001. - 144 с.
6. Новочадов В.В., Писарев В.Б., Фролов В.И. // Морфология. - 2004. - № 4. - С. 92.
7. Писарев В.Б., Смирнов А.В. // Морфология - 2004. - №4. - С. 100-101.
8. Семье В.Я., Мельникова Т.Н., Бахан Н.А. // Журнал неврологии и психиатрии. - 2002. - №8. - С. 61-66.
9. Тотолин А.А. // Молекул. медицина - 2003. - №3. - С. 25-34.
10. Фролов В.И. // Вестник ВолГМУ - 2004. - №10. - С. 15-17.
11. Balboa M.A., Varela Nieto I., Killermann-Lucas K., Denis E.A. // FEBS Lett. - 2002. - Iss. 531, №1. - P. 12-17.
12. Hamano H., Noguchi M., Fukui H., et al. // Life Sci. - 2002. - Vol. 72, №4-5. - P. 565-574.
13. Hesselbrock V., Begleiter H., Porjesz B., et al. // J. Biomed. Sci. - 2001. - Vol. 8. - №1. - P. 77-82.
14. Mann K., Agartz I., Harper C., et al. // Alcohol. Clin. Exp. Res. - 2001. - Vol. 25. - №5. - P. 104S-109S.
15. Matsumoto I., Wilke P.A., Buckley T., et al. // Alcohol. Clin. Exp. Res. - 2001. Vol. 25. - №5. - P. 82S-86S.
16. Thompson R.H., Swanson L.W. // Brain Res. Brain Res. Rev. - 2003. - Vol. 41, №2-3. - P. 153-202.